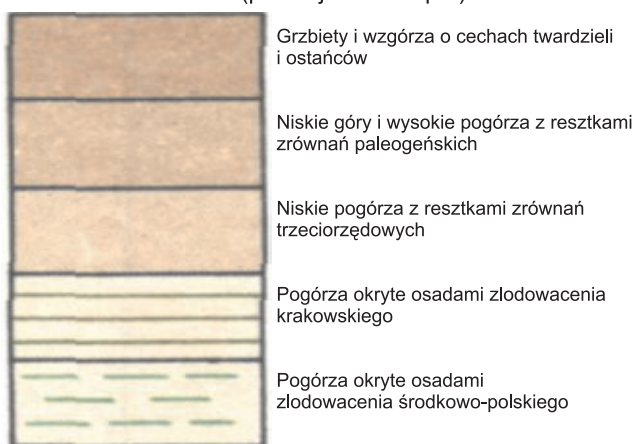


2. Mapa Geomorfologiczna Polski 1:500 000

**DUŻE FORMY NEOTEKTONICZNE PODNOSZONE
W NEOGENIE I CZWARTORZĘDZIE**
Masywy krystaliczne i stare zrównane
góry fałdowe, podniesione wzdłuż linii
tektonicznych



**Stabo podniesione lub tektonicznie
obniżone bloki (poniżej 500 m. npm)**



**Masywy krystaliczne i młode góry fałdowe
wysoko podniesione wzdłuż linii tektonicznych**



**Młode góry o budowie fałdowe (fliszowe)
sfałdowane w paleogeniej**



Góry średnie o cechach stoliw



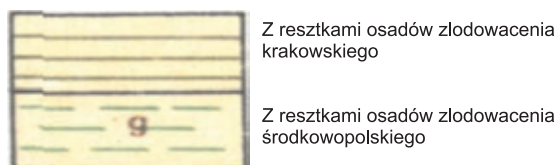
**Wysokie płaty wyżynne z resztkami
starszych zrównań**



**Wyżyny z resztkami zrównań (przeważnie
plioceńskich)**



**Płaskowyże i garby o rzeźbie uwarunkowanej
starszym podłożem z pokrywą czwartorzędową**



**DUŻE FORMY NEOTEKTONICZNE
(NIZINY I KOTLINY) OBNIŻANE OKRESOWO
W NEOGENIE I CZWARTORZĘDZIE
- OBSZARY SEDYMENTACJI**

Wysoczyzny na zdegradowanych utworach

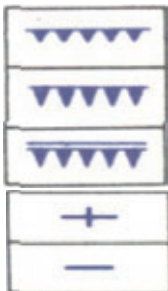


miocenijskich, okryte:
Osadami z okresu zlodowacenia
krakowskiego

Osadami z okresu zlodowacenia
środkowopolskiego

Na zdegradowanych utworach
neogeneńskich bez pokrywy plejstocenijskiej

**GENETYCZNE ZESPOŁY FORM ENDOGENICZNYCH
- MAŁYCH
Formy tektoniczne**



Progi tektoniczne o wysokości względnej poniżej 100 m.

Progi tektoniczne o wysokości względnej 100-200 m.

Progi tektoniczne o wysokości względnej powyżej 250 m.

Strefy o wyraźnych tendencjach podnoszących

Strefy o wyraźnych tendencjach wginających

Formy pochodzenia wulkanicznego



Szczytkowe stożki wulkaniczne

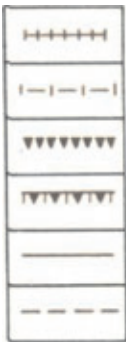
neki i dajki (twardzielce)

**GENETYCZNE ZESPOŁY FORM ENDOGENICZNYCH
- MAŁYCH
Formy denudacyjne**

Formy grzbietowe o wysokości względnej

poniżej 250 m

powyżej 250 m.



Grzbiety twarżielcowe antyklinalne

grzbiety twarżielcowe synklinalne

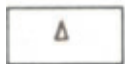
grzbiety twarżielcowe monoklinalne
(hogback)

Grzbiety twarżielcowe ze stokiem
typu kuesty

Inne grzbiety twarżielcowe

grzbiety niezależne od odporności

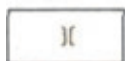
granie



pagóry ostańcowe i twarżielcowe
na działach wodnych



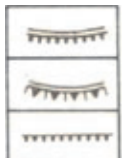
Odosobnione góry wyspowe



duże przełęcze

Progi denudacyjne w Karpatach o wysokości względnej
poniżej 250 m

powyżej 250 sm



progi na czołach nasunięć

Progi typu kuesty

Inne progi i załomy denudacyjne

Progi denudacyjne w strefie starych gór i wyżyn

niskie

wysokie



Progi obsekwentne (inwersyjne) na
liniach uskoków



Kuesty na wychodniach skał
piaskowcowych



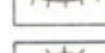
Kuesty na wychodniach skał
węglanowych



kuesty na wychodniach skał
gipsowych



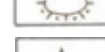
Progi na wychodniach skał
wylewnych



Inne progi i załomy erozyjno-denudacyjne
(również okryte czwartorzędem)



Góry świadki węglanowe



Góry świadki piaskowcowe



Skalki twarżielcowe



Gołoborza



duże osuwiska

Formy erozji rzecznej

Dna większych dolin płaskodennych



Z akumulacją plejstocenijską



z akumulacją holocenijską



Duże dolin V - kształtne



Wąwozy, wciosis i debrze (w obszarach lessowych
i innych

Przełomy w obszarach górskich i wyżynnych



Antecedentne



Epigenetyczne
i inne przełomy



Martw doliny



Krawędzie erozyjne o wysokości względnej
powyżej 20 sm



Inne ważniejsze krawędzie tarasów
w obszarach rozpoznanych)



Czynne podciecia



Koryta rzek (rzeki0



duże starorzecza

Formy akumulacji rzecznej - równiny tarasów akumulacyjnych i erozyjno denudacyjnych

Także w pradolinach

Równiny tarasowe - plejstoceńskie

	Z okresu zlodowacenia krakowskiego
	Z pokresu zlodowacenia środkowopolskiego
	Z okresu zlodowacenia bałtyckiego
	Nierozdzielone

Równiny zalewowe i nadzalewowe holocenięskie

Stożki napływowe plejstoceńskie na Podhalu rzeczno-lodowcowe

Stożki napływowe holocenięskie

Równiny deltowe holocenięskie

Równiny akumulacji rzecznej i stokowej

Formy erozji lodowcowej i rzeczno-lodowcowej

Kotły i żłoby lodowców górskich

Krawędzie kontaktu lodowego

Z okresu zlodowacenia środkowopolskiego

Z okresu zlodowacenia bałtyckiego

Rynny subglacialne (jeziora)

Z okresu zlodowacenia środkowopolskiego (przeobrażone)

Z okresu zlodowacenia bałtyckiego

Ważniejsze krawędzie poziomów sandrowych (w obszarach rozpoznanych)

Formy akumulacji lodowcowej i rzeczno-lodowcowej w zasięgu zlodowacenia krakowskiego

Równiny denudacji peryglacialnej powstałe z przekształcenia form akumulacji lodowcowej i rzeczno-lodowcowej

Ostańcowe pagóry zbudowane z osadów morenowych i rzeczno-lodowcowych

Krawędzie denudacyjne (na tle formy podstawowej)

Formy akumulacji lodowcowej i rzeczno-lodowcowej zdenudowane w zasięgu zlodowacenia środkowopolskiego

Wysoczyzna morenowa falista

Pagórkowata strefa marginalna

Wały morenowe i ostańce wzgórz strefy marginalnej:

Moren soiętrzonych (stadium Odry)

Moren akumulacyjnych (stadium Odry)

Moren spiętrzonych (stadium Warty)

Moren akumulacyjnych (stadium Warty)

Zdenudowane wysoczyzny morenowe oraz akumulacji rzeczno-lodowcowej (na obszarach słabo poznanych)

Zdenudowane równiny sandrowe i rozległe tarasy kemowe

Zdenudowane stożki sandrowe

Wytopiska

Pojedyncze małe wytopiska i zespoły małych wytopisk

Pojedyncze duże wytopiska, w ich obrębie formy wtórne

Rozległe wytopiska, w ich obrębie formy wtórne

Kemy

Pojedyncze małe kemy i tarasy kemowe

Zespoły małych kemów i duże tarasy kemowe

Pojedyncze duże stoliwa kemowe

Ozy

Formy denudacyjne powstałe z przekształcenia form akumulacji lodowcowej i rzeczno-lodowcowej

Krawędzie denudacyjne

Długie stoki wysoczyzn oraz dużych wałów morenowych

Równiny denudacji peryglacialnej typu pedymentów

Formy akumulacji lodowcowej i rzeczno-lodowcowej z okresu zlodowacenia bałtyckiego

Formy akumulacji lodowców górskich

Wysoczyzna morenowa falista

Wysoczyzna morenowa płaska

Pagórkowata strefa marginalna

